

和歌山高専 正員 戸川一夫  
徳島大学学院 学員 佐藤哲  
徳島大学 正員 荒木謙一

## 1. まえがき

近年、我が国でも膨張性混和材（カルシウムサルファルミネート系）が市販され、ケミカルプレストレスコンクリートあるいは收縮補償コンクリートへの利用がしばしば報告されている。ケミカルプレストレスコンクリートでは膨張によってえらるるプレストレス量を算定する際、膨張セメントコンクリートの圧縮クリープ特性を把握することが大切であり、また收縮補償コンクリートでは、ひびわれ抵抗性を推測するために、引張クリープ特性を明確することは意義がある。膨張作用の主成分であるエトリンジャイトはセメント水和物にくらべて強度、剛性がよいために、2, 3 の報告によれば膨張セメントコンクリートの圧縮クリープは普通コンクリートのクリープよりも大きくほぼ2倍程度になるといわれている。

本研究では膨張セメントコンクリートのクリープ特性について、レオロジカルモデルをもつて、膨張セメントコンクリートのクリープの内部機構を解析した。また引張クリープ特性についても実験的に考察した。

## 2. 実験概要

セメントは普通ポルトランドセメント（日本セメントK.K製）、粗骨材は碎石（徳島県大麻産）、最大寸法20mm（レオロジー解析の場合）と40mm（引張クリープの場合）を用いた。細骨材は吉野川産川砂を使用した。膨張性混和材は

表-1 コンクリートの配合

配合	粗骨材 最大粒径 (mm)	スランプ (cm)	空気量 (%)	セメント W/C (%)	鋼筋率 (%)	単位量 (kg/m <sup>3</sup> )					
						水 W	セメント C	粗骨材 G	細骨材 S	混和材 CSA	
CR-0*	20	2.5	4.0	40	38	153	380	1103	690	—	0.95
CR-15*	20	2.5	4.0	40	38	153	380	1103	690	570	0.95
T-0*	40	2.5	4.0	43	37	132	310	1200	703	—	0.975
T-11*	40	2.5	4.0	43	37	132	310	1200	703	37.1	0.975

\* CR: レオロジー解析用, T: 引張クリープ用, 0.95: CSA添加率

カルシウムサルファルミネート系のCSA（電気化学工業K.K製）を、AE減水剤としてポゾリスNo.5LAを使用した。膨張性混和材CSAの使用量はレオロジー解析を行なう場合、セメント重量の内割15%とし、引張クリープ試験の場合は内割11%とした。コンクリートの配合を表-1に示す。レオロジー定数を求めるためのクリープ回復はさばく乾燥収縮測定用供試体は10×10×40cmの角柱供試体とし各2本作製した。普通コンクリートのクリープ試験ならびに乾燥収縮試験については一般に行なわれている方法と同じである。膨張セメントコンクリートのクリープ試験は打込み後所定の材令までφ12mm（鉄筋比0.98%）のPC鋼棒で供試体を拘束し、ままで水中養生し、クリープ試験開始とともに

図-1 回復性クリープおよび非回復性クリープの求め方

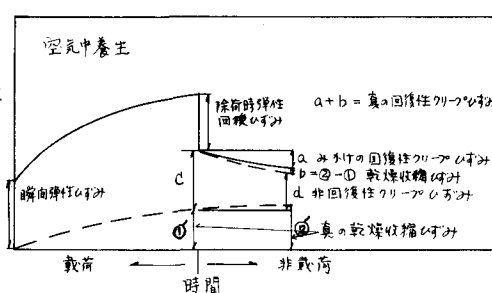
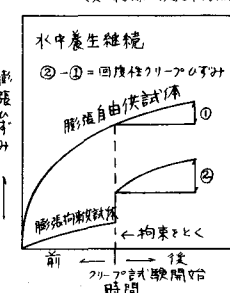


図-2 回復性クリープの求め方  
(真の乾燥収縮ひずみの求め方)



PCジャッキで所定の持続応力を与えて空気中養生を行なつた。持続載荷応力はそのときのそれを水の供試体の圧縮強度の25%とし、普通コンクリートで $85 \text{ kg/cm}^2$ 、膨張セメントコンクリートで $80 \text{ kg/cm}^2$ であり、載荷時材令は10日である。クリーア試験開始後3, 7, 14, 20, 56および120日まで持続載荷して、所定の載荷期間をおえた供試体は荷重を除去して各々のクリーア回復量を測定した。長さ変化の測定はコンパレーターによつた。なお烷循応力を一定に保つために、クリーア試験開始日から数えて、1, 3, 5, 7, 10, 14, 21, 28, 42, 56, 91日にあつてPC鋼棒の引き直しを行なつた。つきに膨張セメントコンクリートの回復性クリーアおよび非回復性クリーアは図-1に示すような考え方で算定した。すなわち真の回復性クリーア量 = みかけのクリーア回復量  $a +$  真の乾燥収縮量  $b$  ( $\phi_2 - \phi_1$ )、非回復性クリーア量 = C - 真の回復性クリーア量である。ここで膨張セメントコンクリートの乾燥収縮測定用供試体はクリーア試験開始まで水中養生中に膨張拘束圧をうけており、クリーア試験開始とともに無拘束にされ空気中養生されると、乾燥収縮とクリーア回復とが同時にあることになり、単に乾燥収縮測定用供試体で測定された値はみかけの収縮量であり、真の乾燥収縮量を求めるには、空気中養生で生じるクリーア回復量を求めて、みかけの乾燥収縮量に加算する必要がある。以上より、クリーア回復量の算定を図-2に示す考え方で、実験的に求めた。すなわち、同一配合の膨張自由供試体と拘束供試体をつくり、クリーア試験開始時に、水中で拘束供試体の拘束をとつて、その後の変形量を測定して、 $\phi_2 - \phi_1$  を差引いてクリーア回復量を求め、その値にみかけの乾燥収縮量を加えて真の乾燥収縮量を算出した。圧縮強度ならびに弾性係数測定用供試体は $\phi 10 \times 20 \text{ cm}$  の円柱供試体を各3個つくり、 $\phi 11 \text{ mm}$  (鉄筋比1.1%)のPC鋼棒を挿入してクリーア試験供試体とはほぼ同一鉄筋比で拘束し、同一養生を行なつた。引張クリーア試験は $10 \times 10 \times 70 \text{ cm}$  の角柱供試体を各2個つくつた。載荷時材令は材令3, 7, 14および28日の4種であり、導入応力はそのときのコンクリートの引張強度の25%とした。

### 3. レオロジカルモデルによるクリーア解析

コンクリートのクリーアの内部機構を説明する場合にレオロジカルモデルを使って多くの研究者<sup>3)</sup>がいろいろな組合せを提案しているが、ここでは西林<sup>4)</sup>あるいはM. Freudenthalの研究報告にしたがつて図-3のようなレオロジカルモデルを仮定し、コンクリートのクリーア機構をつきのように3つに分けて考えた。

1) ケルビン要素  $K_1$ : 遅延弾性による可逆的変形(回復性クリーア)

2) ケルビン要素  $K_2$ : 局部破壊による非可逆的変形(非回復性クリーア)

3) ケルビン要素  $K_3$ : ラーポージ効果による非可逆的変形(非回復性クリーア)

ここで用いた記号は以下に示すとおりである。

$\phi_1, \phi_2, \phi_3$ : 要素  $K_1, K_2, K_3$  の流动係数。

$d_1, d_2, d_3$ : 要素  $K_1, K_2, K_3$  のバネ定数。

$\dot{\epsilon}_1$ : クリーア供試体の軸方向ひずみ。

$\dot{\epsilon}_{fr}$ : クリーア供試体の回復性クリーアひずみ。

$\dot{\epsilon}_2$ : クリーア供試体の非回復性クリーアひずみ。  $\tau_1, \tau_2$ : 要素  $K_1, K_2, K_3$  の遅延時間 ( $\tau = d/\phi$ )

$\sigma$ : クリーア供試体における軸方向定応力。  $t$ : 時間

図-3 レオロジカルモデル

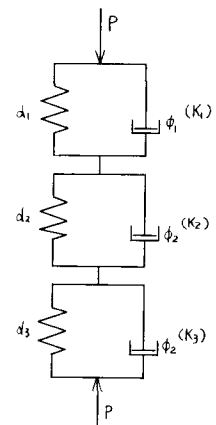


図-3のモデルにおいて、一定荷重下の全変形はつきのような時間の関数として表わすことができる。

$$f(d, t) = \sigma d_1 e^{-t/\alpha_1} + \sigma d_2 e^{-t/\alpha_2} + \sigma d_3 e^{-t/\alpha_3} \quad \dots \dots \dots \text{①}$$

$$f_c = \sigma d_1 (1 - e^{-t/\alpha_1}) + \sigma d_2 (1 - e^{-t/\alpha_2}) + \sigma d_3 (1 - e^{-t/\alpha_3}) \quad \dots \dots \dots \text{②}$$

モデル定数  $d_1, \alpha_1, d_2, \alpha_2, d_3, \alpha_3$  の決定には回復性クリープおよび非回復性クリープを用いる。

#### 4. 回復性クリープおよび非回復性クリープ実験結果とその考察

図-4に回復性クリープと

図-4  $f_r/E_i$  (回復性クリープ係数)～ $t$ (除荷時材令)曲線

載荷時材令との関係を示す。

回復性クリープは非回復性クリープよりも早い極値となり極値をもつ。膨張セメントコンクリート、普通コンクリートとともに図より推定して約40日頃で極値が現われるようである。これは西林<sup>3)</sup>の報告にもあるようだ。

これは、コンクリートの内部組織が載荷後初期と長期とで異なり、さらにクリープ機構とのものが長期と初期で多少異なるためと考えられる。また非回復性クリープは載荷期間が長いほど大きく、膨張セメントコンクリートの方が普通コンクリートより非回復性のクリープは大きい。これは膨張性混和材を添加すると本中にアリエトリンジヤイトが生成され、エトリンジヤイトの強度剛性が小さいためとさう

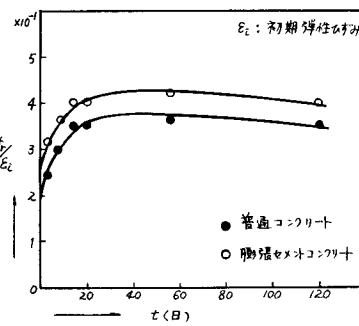


図-4  $f_r/E_i$  (回復性クリープ係数)～ $t$ (除荷時材令)曲線

図-5  $f_c$  (非回復性クリープ係数)～ $t$ (除荷時材令)曲線

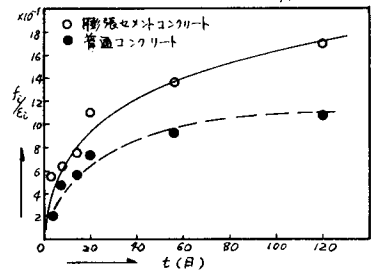


図-7  $f_c/E_i$  と  $f_r/E_i$  の関係

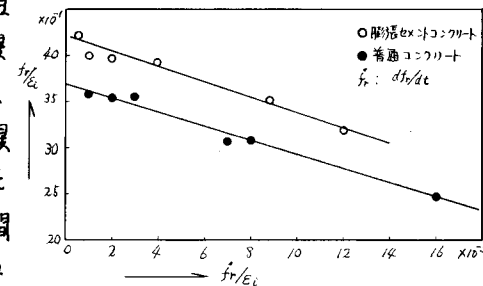


図-6  $f_r/E_i$  と  $f_c/E_i$  の関係

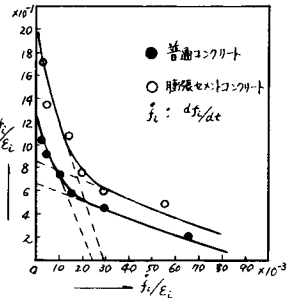


表-2 クリープ係数

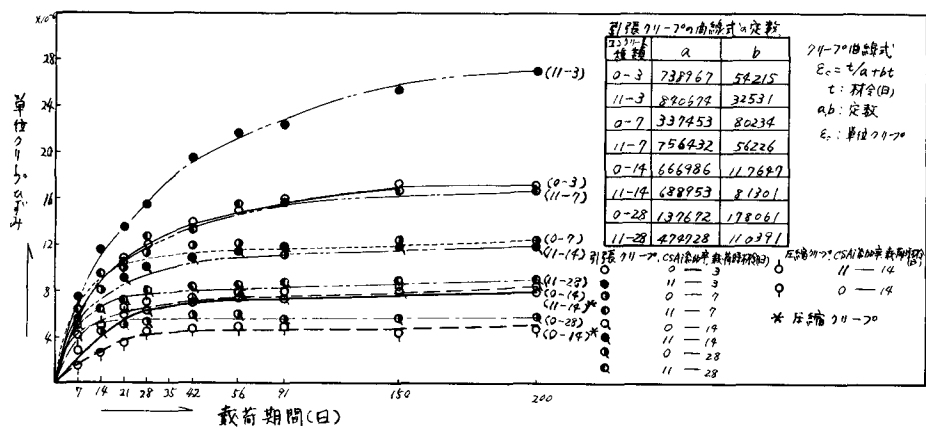
コンクリート種類	ケルビン要素					
	回復性	破壊	シーティング			
$\sigma \times 10^3 (\text{kg}/\text{cm}^2)$	$T_1 (\text{日})$	$\sigma \times 10^3 (\text{kg}/\text{cm}^2)$	$T_2 (\text{日})$	$\sigma \times 10^3 (\text{kg}/\text{cm}^2)$	$T_3 (\text{日})$	
普通コンクリート	0.134	31.2	0.250	7.3	0.401	36.7
膨張セメントコンクリート	0.172	20.2	0.375	7.5	0.871	67.7

に膨張によって多少コンクリートの内部組織がボーラスになってラージ効果が大きくなるために非回復性クリープが大きくなると考えられる。つぎに図-4および図-5よりかず曲線、 $f_r/E_i$  曲線を求めるより図-6と図-7に示すようになる。これらの曲線よりえられたモデル定数を表-2に示す。表-2より普通コンクリート、膨張セメントコンクリートのどちらも非回復性のシーティング効果が大きいことがうかがえる。要素別にすれば遅延時間について非回復性クリープの局部破壊、シーティング効果は膨張セメントコンクリートが大きく、回復性クリープは普通コンクリートの方が大きい。一方では回復クリープ、非回復性クリープの局部破壊、シーティング効果ともに膨張セメントコンクリートの方が普通コンクリートより1.2～2.2倍程度大きく、とくに膨張セメントコンクリートはシーティング効果が大きいため周囲の環境条件に支配されやすく、逆に環境に順応性があるともいえよう。

## 5. 引張クリープと載荷時材令との関係

引張クリープと載荷時材令との関係について膨張セメントコンクリートと普通コンクリートとを比較検討した。図-8は載荷期間200日までの引張クリープ試験結果を示す。

図-8 単位クリープひずみと載荷時材令との関係



また図-9に推定最終クリープ係数と載荷時材令との関係を示す。いつもの載荷時材令の場合も、膨張セメントコンクリートの引張クリープは普通コンクリートよりも大きく、1.4倍程度に亘っている。また、膨張セメントコンクリート、普通コンクリートとともに載荷時材令14日のコニクリートのクリープひずみについて引張クリープひずみは圧縮クリープひずみの約1.6倍であり、これは一般に報告されている結果とほぼ同様である。圧縮クリープでは膨張セメントコンクリートのクリープ係数は普通コンクリートのクリープ係数の1.8~2.0倍程度が示されたが、引張クリープひずみは1.4倍程度との比率は小さくなっている。この理由は膨張セメントコンクリートのクリープは前述したようにシーケンジ効果が大きく、シーケンジ効果は圧縮クリープと引張クリープとで同じ挙動を示さないと言えられ、引張クリープでは圧縮クリープほどシーケンジ効果の影響が大きくないためであると推察される。

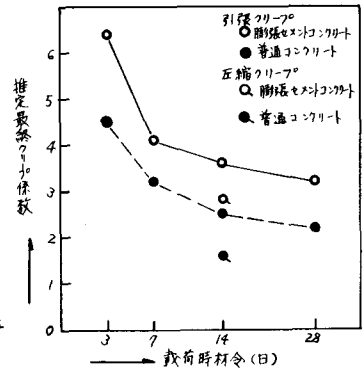
## 6. あとがき

膨張セメントコンクリートの圧縮クリープは普通コンクリートにくらべて大きく、いくにシーケンジ効果が大きいことが注目される。また膨張セメントコンクリートの引張クリープは普通コンクリートのクリープより大きく1.4倍程度であり、膨張セメントコンクリートは普通コンクリートよりも周囲の環境条件に順応して塑性的に挙動し、ひびわれ抵抗性も大きいよう推察される。

### 〈参考文献〉

- 長瀬ら：土木学会年次学術講演会概要集，第5部，10月，(1971)
- 戸川ら：土木学会年次学術講演会概要集，第5部，10月，(1971)
- 西林：コンクリートジャーナル Vol.7. No.1. 1月，(1969)
- M.Freudenthal：Journ. of A.C.I. 54. 6月 (1958)

図-9 推定最終クリープ係数と載荷時材令との関係



本研究の一部は昭和46年度文部省科学研究費によつて行なつたものである。